

МОДЕЛИРОВАНИЕ МАГНИТНОЙ СИСТЕМЫ ДЛЯ ИНДУКЦИОННОГО  
ЦИКЛИЧЕСКОГО УСКОРИТЕЛЯ С ПОСТОЯННЫМ ВЕДУЩИМ ПОЛЕМ

В. Н. Канунников, П. С. Михалев

УДК 621.384.612

Описана методика и приведены результаты моделирования секторной магнитной системы с большими прямолинейными промежутками (без секторов отрицательного поля). С помощью численных расчетов по измеренному на моделях полю определены частоты бетатронных колебаний и другие параметры магнитной системы для индукционных ускорителей электронов с постоянным во времени ведущим полем на энергии 1,5 и 5,0 Мэв.

Первые теоретические исследования динамики частиц в магнитной системе без отрицательных секторов, предназначенной для индукционного циклического ускорителя с постоянным ведущим полем, проводились в предположении ступенчатой зависимости поля от азимута /1,2/. Для уточнения полученных ранее результатов проведено описанное ниже моделирование; частоты бетатронных колебаний и другие характеристики определены по реальному, измеренному на моделях, полю. При расчетах использовалось, как и ранее, распределение поля вида:

$$H(r, \theta) = H_0 \left( \frac{r}{R} \right)^n \left[ f_0 + \sum_{k=1}^{\infty} f_k \cos(kN\theta) \right]. \quad (1)$$

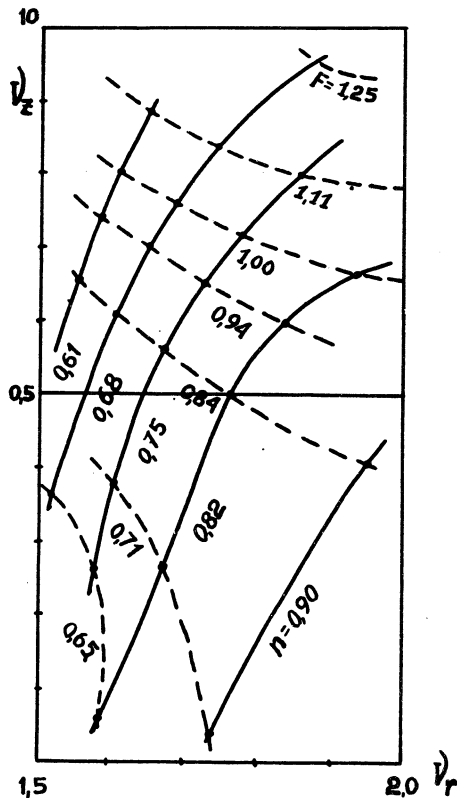
Флаттер

$$F = \frac{1}{2} \sum_{k=1}^{\infty} \frac{f_k^2}{f_0^2} \quad (2)$$

должен быть достаточно большим, чтобы обеспечить вертикальную устойчивость в растущем по радиусу поле ( $n > 0$ ).

Магнитная система моделировалась в двух вариантах:  $N = 4$  и  $N = 6$ . Значения  $n$  и  $F$  при расчете моделей выбраны на основе прежних результатов /1,2/. Область моделируемого поля соответст-

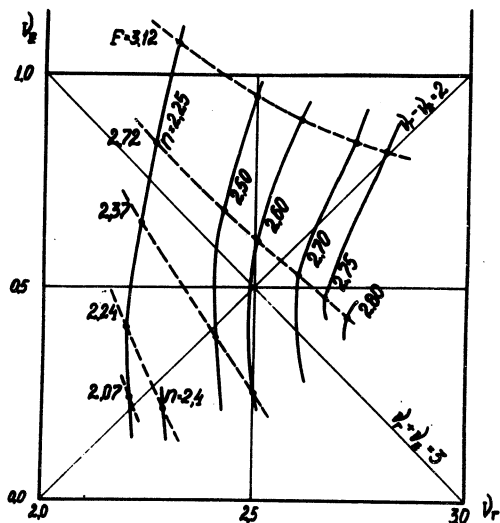
вует диапазону энергий 0,05–0,5 Мэв ( $N = 4$ ) и 0,05–1,0 Мэв ( $N = 6$ ). Геометрические размеры моделей определены, прежде всего, из условий получения необходимой величины  $F$ . Как и в электрон-



Р и с.1. Диаграмма устойчивости для  $N = 4$ . Линии постоянного показателя поля  $n$  – сплошные, постоянного флаттера  $F$  – пунктирные

ном кольцевом фазотроне [3], область формируемого поля разбита на две части: на малых радиусах рост поля обеспечивается распределенными обмотками, на больших – уменьшением вертикального зазора. В области распределенных обмоток вертикальный зазор и азимутальная ширина сектора увеличиваются пропорционально радиусу,

а ампервитки растут пропорционально  $r^{n+1}$ . В области профилированных полюсов зазор изменяется с радиусом в первом приближении обратно пропорционально амплитуде формируемого поля; при узких



Р и с.2. Диаграмма устойчивости для  $N = 6$ . Линии постоянного показателя поля  $n$  — сплошные, постоянного флаттера  $F$  — пунктирные

по азимуту секторов закон изменения зазора учитывает зависимость этой амплитуды от азимутальной ширины сектора (см./4/).

Модели состоят из двух ( $N = 4$ ) и трех ( $N = 6$ ) секторов, смонтированных на общем основании вместе с координатным механизмом для перемещения датчиков поля. Для магнитных измерений использовалась система с двумя датчиками Холла типа X5II (с размерами  $2,0 \times 2,0 \times 0,3 \text{ мм}^3$ ), размещенными в общем корпусе; центры датчиков смещены друг относительно друга по радиусу на 10 мм. Абсолютная погрешность измерений  $n \sim 1\%$ , погрешность измерений  $N$  и относительных измерений  $n$  — в несколько раз лучше.

Измеренные на моделях при нескольких значениях радиуса и вертикального зазора зависимости  $N(\theta)$  использовались при определении частот бетатронных колебаний  $\nu_r, \nu_z$  путем численного инте-

гирования точных связанных уравнений движения в поле вида (1) (см. /2/). Зависимости  $n(\theta)$  характеризовались соответствующей величиной  $F$ , определявшейся по формуле (2). Результаты расчетов частот, полученные для  $N = 4$ , нанесены на диаграмму устойчивости (рис.1). Точки, соответствующие паре значений  $\nu_r, \nu_z$ , соединены на диаграмме линиями  $n = \text{const}$  и  $F = \text{const}$ , с указанными около них значениями этих величин. Аналогичным образом рассчитаны  $\nu_r, \nu_z$  по результатам измерений поля при  $N = 6$  (рис.2).

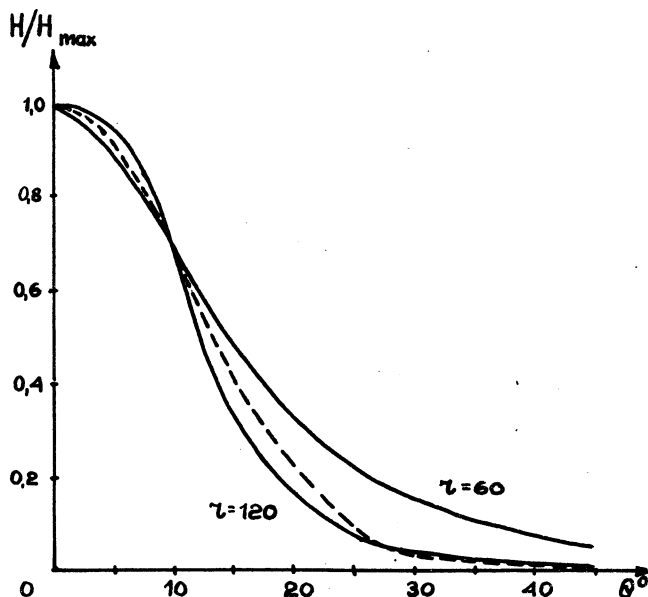
Таблица I

Параметры магнитной системы ускорителей на 1,5 и 5,0 Мэв

Макс. энергия электронов $w_m$ (Мэв)	1,5	5,0
Энергия инжекции $w_i$ (Мэв)	0,05	0,05
Число секторов $N$	4	6
Показатель поля $n$	$0,76 \pm 0,04$	$2,65 \pm 0,05$
Флаттер $F$	$1,0 \pm 0,15$	$2,9 \pm 0,2$
Частоты бетатронных колебаний:		
радиальных $\nu_r$	1,8	2,6
вертикальных $\nu_z$	0,7	0,75
Радиус орбиты инжекции $r_i$ (см)	8	18
Радиус конечной орбиты $r_m$ (см)	27	44
Макс. ведущее поле $H_m$ (кэ)	0,5	2,8

Как видно из рис.1 и 2, можно выбрать рабочие точки, указанные в таблице I. Эти точки соответствуют максимальной (для рассматриваемых значений  $N$ ) величине  $n$  и, следовательно, минимальной ширине кольца магнитной системы. Указанные в таблице значения отклонений  $n$  и  $F$  относятся к полю без азимутальных искажений и предполагают одинаковые  $\Delta n$  на всех азимутах. Если допустить возможность пересечения в процессе ускорения резонансов связи  $\nu_r - \nu_z = 2$  ( $N = 6$ ) и  $\nu_r - \nu_z = 1$  ( $N = 4$ ), то приведенные значения  $\Delta n$  можно увеличить примерно вдвое. Судя по опыту работы электронного кольцевого фазотрона /3/, у которого допуска на магнитное поле были примерно на порядок жестче, формирование поля рассматриваемых ускорителей не вызовет затруднений.

При моделировании опробованы методы коррекции распределений  $F(r)$  и  $n(r)$  до указанных выше допусков. В области краевого эффекта, на начальных радиусах, искажения  $n$  компенсировали допол-



г и с.3. Пример коррекции экранами азимутальной формы поля  $H(\theta)$  в модели  $N = 4$ . Для кривой на радиусе  $r = 120$  мм флаттер  $F = 1,08$ ; сплошная кривая при  $r = 60$  мм (без экранов) соответствует  $F = 0,65$ . Пунктирная кривая получена на том же радиусе  $r = 60$  мм после коррекции формы поля с помощью экранов; в этом случае  $F = 1,00$

нительными витками распределенных обмоток;  $F$  и  $n$  на больших радиусах подгоняли, корректируя форму профилированных полюсов. На малых радиусах  $F$  весьма просто изменять с помощью магнитных экранов, закрывающих радиальные проводники обмоток со стороны прямолинейного промежутка. Малая величина поля позволяет сделать эти экраны тонкими и варьировать  $F$ , изменяя зазор между верхним и нижним экранами (см. рис.3).

Авторы выражают искреннюю благодарность Г. И. Харламовой за помощь в получении результатов численных расчетов. Авторы благодарят также А. А. Косарева и Л. Н. Чеканову, принимавших участие в магнитных измерениях.

Поступила в редакцию  
13 июня 1975 г.

#### Л и т е р а т у р а

1. В. Н. Канунников, А. А. Коломенский, П. С. Михалев, А. П. Фатеев. Атомная энергия, 38, 234 (1975).
2. В. Н. Канунников, А. А. Коломенский, П. С. Михалев, А. П. Фатеев. Препринт ФИАН № 58, 1974 г.
3. В. Н. Канунников, А. А. Коломенский, А. Н. Лебедев, Е. П. Овчинников, А. П. Фатеев, Б. Н. Яблоков. ПТЭ, № 5, 71 (1967).
4. В. Н. Канунников, П. С. Михалев. Краткие сообщения по физике ФИАН, № 3, 16 (1975).